

О формировании решения со слабым погранслоем в задачах реакция-диффузия

Булатов Павел Евгеньевич¹

¹МГУ им. М. В. Ломоносова, физический факультет

2 июня 2022 г.



Постановка задачи

$$\begin{aligned} L_\varepsilon(u) &:= \varepsilon^2 \frac{\partial^2 u}{\partial x^2} - \varepsilon \frac{\partial u}{\partial t} - f(u, x, \varepsilon) = 0; \\ x \in X &:= (0, 1), \quad t \in (0, +\infty); \\ \left. \frac{\partial u}{\partial x} \right|_{x=0} &= h_0; \\ \left. \frac{\partial u}{\partial x} \right|_{x=1} &= h_1; \\ u(x, 0, \varepsilon) &= u_{init}(x, \varepsilon). \end{aligned} \tag{1}$$

Здесь ε – малый параметр. Функции, входящие в задачу (1), считаются достаточно гладкими.

Правые части граничных условий Неймана h_0 и h_1 являются константами, то есть задача имеет слабые погранслои.

Дополнительные соглашения

(A1) Вырожденное уравнение

$$f(u, x, 0) = 0 \quad (2)$$

имеет на некотором отрезке $[a, b]$ ровно три корня $\varphi^{(0, \pm)}(x)$, обращающих (2) в корректное тождество $\forall x \in X$ и упорядоченных следующим образом:

$$a < \varphi^{(-)}(x) < \varphi^{(0)}(x) < \varphi^{(+)}(x) < b \quad \forall x \in X. \quad (3)$$

(A2) Производная правой части по u удовлетворяет следующему условию:

$$f_u(\varphi^{(\pm)}(x), x, 0) > 0, \quad f_u(\varphi^{(0)}(x), x, 0) < 0 \quad \forall x \in \bar{X}. \quad (4)$$

(A3) Функция

$$I(x) := \int_{\varphi^{(-)}(x)}^{\varphi^{(+)}(x)} f(u, x, 0) du \quad (5)$$

определенна и знакопостоянна на \bar{X} .

Дополнительные соглашения

(A4) Решение в начальный момент времени удовлетворяет условию

$$a \leq u_{init}(x, \varepsilon) \leq b \quad (6)$$

и пересекает $\varphi^{(0)}(x)$ в точках x_k^{init} , $k = \overline{1, K}$, причём

$$\forall k = \overline{1, K-1} \quad x_k^{init} < x_{k+1}^{init}$$

и для каждой из этих точек существует такое $\delta_k > 0$, что выполняется одно из двух условий:

$$\begin{aligned} u_{init}(x, \varepsilon) &< \varphi^{(0)}(x) \quad \forall x \in (x_k^{init} - \delta_k, x_k^{init}), \\ u_{init}(x, \varepsilon) &> \varphi^{(0)}(x) \quad \forall x \in (x_k^{init}, x_k^{init} + \delta_k); \end{aligned} \quad (7)$$

$$\begin{aligned} u_{init}(x, \varepsilon) &> \varphi^{(0)}(x) \quad \forall x \in (x_k^{init} - \delta_k, x_k^{init}), \\ u_{init}(x, \varepsilon) &< \varphi^{(0)}(x) \quad \forall x \in (x_k^{init}, x_k^{init} + \delta_k). \end{aligned} \quad (8)$$

Разбиение на подзадачи

$$\varepsilon^2 \frac{\partial^2 u}{\partial x^2} - \varepsilon \frac{\partial u}{\partial t} - f(u, x, \varepsilon) = 0;$$

$$x \in X_k^{(l)} := (c_{k-1}, x_k), \quad t > 0;$$

$$\frac{\partial u}{\partial x}(c_{k-1}, t, \varepsilon) = 0;$$

$$u(x_k, t, \varepsilon) = \varphi^{(0)}(x_k);$$

$$u(x, 0, \varepsilon) = u_{init}(x, \varepsilon).$$

(9)

$$\varepsilon^2 \frac{\partial^2 u}{\partial x^2} - \varepsilon \frac{\partial u}{\partial t} - f(u, x, \varepsilon) = 0;$$

$$x \in X_k^{(r)} := (x_k, c_k), \quad t > 0;$$

$$u(x_k, t, \varepsilon) = \varphi^{(0)}(x_k);$$

$$\frac{\partial u}{\partial x}(c_k, t, \varepsilon) = 0;$$

$$u(x, 0, \varepsilon) = u_{init}(x, \varepsilon).$$

(10)

Точки c_k , $k = \overline{1, K-1}$ и $x_k(t, \varepsilon)$ ищутся в виде асимптотических разложений, члены которых можно найти из условия C^1 -гладкого сшивания. При этом мы полагаем, что $c_0 = 0$, $c_K = 1$, и в них заданы граничные условия исходной задачи.

Асимптотика решения

Метод пограничных функций [4]:

$$U_{n,k}^{(\pm)}(x, t, \varepsilon) = \sum_{m=0}^n \varepsilon^m \left(\bar{u}_{m,k}^{(\pm)}(x, \varepsilon) + Q_{m,k}^{(\pm)}(\xi_{m,k}, \varepsilon) + \Pi_{m,k}^{(\pm)}(\zeta_k^{(\pm)}, \varepsilon) \right), \quad (11)$$

где $\bar{u}_{m,k}^{(\pm)}$ – регулярные части, $Q_{m,k}^{(\pm)}$ и $\Pi_{m,k}^{(\pm)}$ – погранслойные части со стороны соответственно $x_k(t, \varepsilon)$ и c_k . Индекс $(-)$ соответствует задаче (9), а индекс $(+)$ – задаче (10).

Растянутые переменные определяются следующим образом:

$$\xi_{m,k} = \frac{x - x_k(t, \varepsilon)}{\varepsilon}, \quad \zeta_k^{(-)} = \frac{c_{k-1} - x}{\varepsilon} < 0, \quad \zeta_k^{(+)} = \frac{c_k - x}{\varepsilon} > 0. \quad (12)$$

Члены асимптотического ряда (11) строятся по аналогии с [1].

Отметим, что члены нулевого порядка $\bar{u}_{m,k}^{(\pm)}(x, \varepsilon)$ равны $\varphi^{(-)}(x)$ или $\varphi^{(+)}(x)$. Кроме того, члены нулевого порядка $\Pi_{m,k}^{(\pm)}(\zeta_k^{(\pm)}, \varepsilon)$, в том числе в крайних задачах, также равны нулю.

Формирование фронтов

Основной результат [2] можно сформулировать в виде леммы:

Лемма

Пусть выполнены условия **(A1) – (A4)** с одной точкой пересечения x_1^{init} . Тогда за время $t_f = O(\varepsilon^2 |\ln \varepsilon|)$ погранслойная часть $Q^{(\pm)}(\xi, \varepsilon)$ примет вид быстро затухающей экспоненты и таким образом формирует резкий переходный слой (фронт) – область с большой по модулю положительной (если выполняется условие (7)) или отрицательной (в случае (8)) производной решения по координате.

Точку $x_k(t)$ пересечения фронта с функцией $\varphi^{(0)}(x)$ будем называть **точкой локализации** фронта.

Замечание

С помощью разбиения (9), (10) лемма 1 обобщается на случай многих x_k .

Движение фронтов

Координата локализации k -го фронта выражается в виде асимптотического ряда

$$x_k = \sum_{m=0}^{\infty} \varepsilon^m x_{m,k}, \quad (13)$$

члены которого являются решениями задачи Коши

$$\begin{aligned} \frac{dx_{m,k}}{dt} &= V_{m,k}(x_{m,k}), \quad t \in [t_f, +\infty), \\ x_{m,k}(t_f) &= \begin{cases} x_k^f, & m = 0, \\ 0, & m > 0. \end{cases} \end{aligned} \quad (14)$$

Величина x_k^f считается известной.

Движение фронтов

Скорость движения фронта в нулевом порядке [1, 2]

$$V_{0,k}(x_{0,k}) = \frac{\int_{\varphi^{(l)}(x_{0,k})}^{\varphi^{(r)}(x_{0,k})} f(u, x_{0,k}, \varepsilon) du}{\int_{-\infty}^{+\infty} (\tilde{u}'(\xi))^2 d\xi}. \quad (15)$$

$$\tilde{u}(\xi) = \begin{cases} \varphi^{(l)}(x_{0,k}) + Q_0^{(l)}(\xi), & \xi \leq 0, \\ \varphi^{(r)}(x_{0,k}) + Q_0^{(r)}(\xi), & \xi \geq 0. \end{cases} \quad (16)$$

Для восходящих фронтов индекс (l) означает $(-)$, а $(r) - (+)$, а для нисходящих – наоборот.

Лемма

При достаточно малых ε направление движения фронта определяется знаком числителя (15), который по условию **(A3)** является знакопостоянным при $x \in \bar{X}$.

Верхнее решение

См. [3].

Определение

Функция $\beta(x, t, \varepsilon)$ из класса $C[0, 1] \cap C^2(0, 1) \setminus \{x_k^*\}$ по переменной x и из класса $C[0, +\infty) \cap C^1(0, +\infty)$ по переменной t , где $x_k^*(t) \in (0, 1)$ – гладкая функция при $t \in [0, +\infty)$, $k = \overline{1, K}$ называется **верхним решением** задачи (1), если

$$L_\varepsilon(\beta) \leq 0 \quad \forall x \in (0, 1) \setminus \{x_k^*\} \quad \forall t \in (0, +\infty); \quad (17)$$

$$\frac{\partial}{\partial x} \beta(x_k^* + 0, t, \varepsilon) - \frac{\partial}{\partial x} \beta(x_k^* - 0, t, \varepsilon) \leq 0 \quad \forall t \in (0, +\infty); \quad (18)$$

$$\frac{\partial}{\partial x} \beta(0, t, \varepsilon) \leq h_0, \quad \frac{\partial}{\partial x} \beta(1, t, \varepsilon) \geq h_1 \quad \forall t \in (0, +\infty); \quad (19)$$

$$\beta(x, 0, \varepsilon) \geq u_{init}(x, \varepsilon) \quad \forall x \in [0, 1]. \quad (20)$$

Нижнее решение

См. [3].

Определение

Функция $\alpha(x, t, \varepsilon)$ из класса $C[0, 1] \cap C^2(0, 1) \setminus \{x_k^*\}$ по переменной x и из класса $C[0, +\infty) \cap C^1(0, +\infty)$ по переменной t , где $x_k^*(t) \in (0, 1)$ – гладкая функция при $t \in [0, +\infty)$, $k = \overline{1, K}$ называется **нижним решением** задачи (1), если

$$L_\varepsilon(\alpha) \geq 0 \quad \forall x \in (0, 1) \setminus \{x_k^*\} \quad \forall t \in (0, +\infty); \quad (21)$$

$$\frac{\partial}{\partial x} \alpha(x_k^* + 0, t, \varepsilon) - \frac{\partial}{\partial x} \alpha(x_k^* - 0, t, \varepsilon) \geq 0 \quad \forall t \in (0, +\infty); \quad (22)$$

$$\frac{\partial}{\partial x} \alpha(0, t, \varepsilon) \geq h_0, \quad \frac{\partial}{\partial x} \alpha(1, t, \varepsilon) \leq h_1 \quad \forall t \in (0, +\infty); \quad (23)$$

$$\alpha(x, 0, \varepsilon) \leq u_{init}(x, \varepsilon) \quad \forall x \in [0, 1]. \quad (24)$$

Теорема существования и единственности

См. [3].

Определение

Нижнее и верхнее решение называются упорядоченными, если

$$\alpha(x, t, \varepsilon) \leq \beta(x, t, \varepsilon) \quad \forall x \in [0, 1] \quad \forall t \in (0, +\infty). \quad (25)$$

Теорема

Пусть существуют верхнее и нижнее решения задачи (1) – соответственно функции $\beta(x, t, \varepsilon)$ и $\alpha(x, t, \varepsilon)$. Тогда задача (1) имеет единственное классическое решение $u(x, t, \varepsilon)$, причём

$$\alpha(x, t, \varepsilon) \leq u(x, t, \varepsilon) \leq \beta(x, t, \varepsilon) \quad \forall x \in [0, 1] \quad \forall t \in (0, +\infty). \quad (26)$$

Построение верхнего и нижнего решений

Модификация асимптотики [1]:

$$\begin{aligned}\beta_n(x, t, \varepsilon) = & U_n^\beta(x, t, \varepsilon) + \\ & + \varepsilon^{n+1} \left(\bar{u}_{n+1}(x) + q_0 + Q_{n+1}^\beta(\xi_\beta, t) \right) + \\ & + \varepsilon^{n+1} \left(e^{\kappa\zeta^{(-)}} + e^{-\kappa\zeta^{(+)}} \right), \quad (27)\end{aligned}$$

$$\begin{aligned}\alpha_n(x, t, \varepsilon) = & U_n^\alpha(x, t, \varepsilon) + \\ & + \varepsilon^{n+1} \left(\bar{u}_{n+1}(x) - q_0 + Q_{n+1}^\alpha(\xi_\alpha, t) \right) - \\ & - \varepsilon^{n+1} \left(e^{\kappa\zeta^{(-)}} + e^{-\kappa\zeta^{(+)}} \right), \quad (28)\end{aligned}$$

где $U_n^{\beta, \alpha}(x, t, \varepsilon)$ – частичная сумма асимптотического ряда.

$$x_k^{\beta, \alpha}(t, \varepsilon) = \sum_{m=0}^n \varepsilon^m x_{m,k}^{\beta, \alpha}(t) + \varepsilon^{n+1} x_{n+1,k}^{\beta, \alpha}(t), \quad (29)$$

Поправки $Q_{n+1}^{\beta, \alpha}(\xi_\beta, t)$ и $x_{n+1,k}^{\beta, \alpha}(t)$ можно получить с любым знаком.

Взаимное уничтожение фронтов

Построим два верхних решения $\beta_n^{(l)}(x, t, \varepsilon)$ и $\beta_n^{(r)}(x, t, \varepsilon)$ вида (27). Они будут двигаться навстречу друг другу вслед за фронтами исходного решения. Справедлива оценка

$$\beta_n^{(l,r)}(x, t, \varepsilon) - u(x, t, \varepsilon) = O(\varepsilon^n) \geq 0 \quad \forall x \in X \setminus [x_1, x_2],$$

где $[x_1, x_2]$ – отрезок между точками локализации фронтов верхних решений. В некоторый момент времени t_{st} они встречаются в общей точке локализации x^* , после чего данный отрезок перестаёт существовать, и вышеупомянутая оценка становится справедливой на всём X . Обозначим

$$\beta_n(x, t, \varepsilon) = \min \left\{ \beta_n^{(l)}(x, t, \varepsilon), \beta_n^{(r)}(x, t, \varepsilon) \right\}. \quad (30)$$

В дальнейшем эти фронты [2] выкатятся за пределы X за время $O(\varepsilon)$.

Взаимное уничтожение фронтов

Нижнее решение $\alpha(x, t, \varepsilon)$ будем строить по аналогии с (28), но с тем отличием, что у него не будет фронта. Это стационарное решение, близкое к $\varphi^{(-)}(x)$. Соответственно, оно не будет содержать компоненты $Q_{(n+1)\beta}(\xi_\beta, t)$. Из построения асимптотик нижнего и верхнего решений

$$\beta_n(x, t, \varepsilon) - \varphi^{(-)}(x) = O(\varepsilon) \geq 0;$$

$$\alpha_n(x, t, \varepsilon) - \varphi^{(-)}(x) = O(\varepsilon) \leq 0.$$

Из этого следует, что при $t > t_{st}$

$$|u(x, t, \varepsilon) - \varphi^{(-)}(x)| = O(\varepsilon). \quad (31)$$

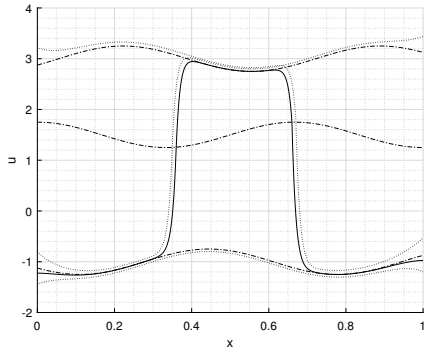


Рис.: Схлопывание при $I(x) > 0$.

Взаимное уничтожение фронтов

Лемма

Пусть выполнены условия **(A1) – (A4)** с двумя точками пересечения x_k^{init} . Пусть выполнено одно из двух условий:

- ① $\frac{\partial u_{init}}{\partial x} \Big|_{x=x_1^{init}} \cdot I(x) > 0, \quad \frac{\partial u_{init}}{\partial x} \Big|_{x=x_2^{init}} \cdot I(x) < 0 \text{ и } I(x) > 0;$
- ② $\frac{\partial u_{init}}{\partial x} \Big|_{x=x_1^{init}} \cdot I(x) < 0, \quad \frac{\partial u_{init}}{\partial x} \Big|_{x=x_2^{init}} \cdot I(x) > 0 \text{ и } I(x) < 0.$

Тогда

$$\lim_{t \rightarrow +\infty} u(x, t, \varepsilon) = u_{st}(x, \varepsilon) = \begin{cases} \varphi^{(-)}(x) + O(\varepsilon), & (1); \\ \varphi^{(+)}(x) + O(\varepsilon), & (2). \end{cases}$$

Замечание

Так как все функции непрерывны, то любые два соседних фронта будут иметь противоположные ориентации. Если точек x_k^{init} много, то, пользуясь разбиением (9), (10), задачу можно разбить на несколько подзадач, удовлетворяющих условию (1) или (2) леммы 3.

Выкат фронта

Главный член $x_{0,k}(t, \varepsilon)$

определяется задачей Коши (14).

Функция (15) по условию **(A4)** является знакопостоянной $\forall x \in \bar{X}$, а значит, фронт верхнего решения пройдёт точку $x = 1$ и выйдет дальше. Ввиду непрерывности всех функций существует такое $\Delta > 0$, что на отрезке $[1, 1 + \Delta]$ фронт будет продолжать движение вправо. Выкат произойдёт [2]

за время $O(\varepsilon)$. Поправка

$\varepsilon^{n+1} \left(e^{\kappa\zeta(-)} + e^{-\kappa\zeta(+)} \right)$ при достаточно больших κ обеспечивает выполнение (19). После выката в главном члене асимптотики решения на \bar{X} останется только регулярная часть $\bar{u}_{0,k} = \varphi^{(\pm)}(x)$. Выкат влево и при $I(x) > 0$ рассматривается аналогично.

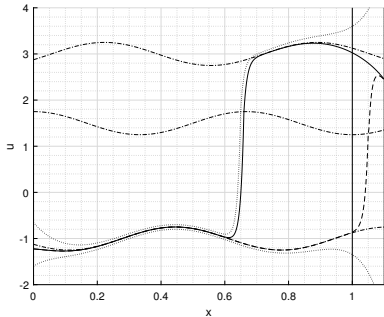


Рис.: Выкат вправо при $I(x) > 0$.

Выход фронта на границу

Результат предыдущего слайда можно сформулировать в виде леммы:

Лемма

Пусть выполнены условия **(A1) – (A4)** с одной точкой пересечения x_1^{init} . Тогда

$$\lim_{t \rightarrow +\infty} u(x, t, \varepsilon) = u_{st}(x, \varepsilon) = \begin{cases} \varphi^{(-)}(x) + O(\varepsilon), & \frac{\partial u_{init}}{\partial x} \Big|_{x=x_1^{init}} \cdot I(x) > 0; \\ \varphi^{(+)}(x) + O(\varepsilon), & \frac{\partial u_{init}}{\partial x} \Big|_{x=x_1^{init}} \cdot I(x) < 0. \end{cases}$$

Замечание

Так как все функции непрерывны, то очевидно, что любые два соседних фронта будут иметь противоположные ориентации, а значит они будут двигаться навстречу друг другу и схлопываться. Из этого следует, что выкатываться могут только крайние фронты.

Результат

Пользуясь разбиением (9), (10), задачу можно разбить на несколько подзадач, удовлетворяющих условиям лемм 3 и 4.

Теорема

Пусть для задачи (1) выполнены условия **(A1)** – **(A4)**. Тогда за время порядка $O(\varepsilon)$ решение стабилизируется к $\varphi^{(-)}(x)$ или $\varphi^{(+)}(x)$:

$$\lim_{t \rightarrow +\infty} u(x, t, \varepsilon) = u_{st}(x, \varepsilon) = \begin{cases} \varphi^{(-)}(x) + O(\varepsilon), & \frac{\partial u_{init}}{\partial x} \Big|_{x=x_1^{init}} \cdot I(x) > 0; \\ \varphi^{(+)}(x) + O(\varepsilon), & \frac{\partial u_{init}}{\partial x} \Big|_{x=x_1^{init}} \cdot I(x) < 0. \end{cases}$$

Замечание

Формирование фронтов произойдёт [2] за время $t_f = O(\varepsilon^2 |\ln \varepsilon|)$, а выкат – за время $O(\varepsilon)$. Процесс взаимного уничтожения фронтов можно рассмотреть как выкат фронтов на подзадачах (9), (10), а это значит, что он тоже проходит за время $O(\varepsilon)$. Таким образом, время стабилизации решения можно оценить как $t_{st} = O(\varepsilon)$.

-  Ю. В. Божевольнов, Н. Н. Нефёдов. Движение фронта в параболической задаче реакция-диффузия // Журнал вычислительной математики и математической физики, 2010, том 50, № 2, с. 276 – 285.
-  В. Ф. Бутузов, Н. Н. Нефёдов, К. Р. Шнайдер. О формировании и распространении резких переходных слоев в параболических задачах // Вестник Московского университета. Серия 3. Физика. Астрономия. 2005. № 1. С. 9 – 13.
-  Н. Н. Нефедов. Метод дифференциальных неравенств для некоторых классов нелинейных сингулярно возмущенных задач с внутренними слоями // Дифференц. уравнения. 1995. Т. 31. № 7. С. 1142 – 1149.
-  А. Б. Васильева, В. Ф. Бутузов. Асимптотические методы в теории сингулярных возмущений. М.: Высшая школа, 1990.